

# $\phi_3$ 測定に向けた、 $B^0 \rightarrow D K^{*0}$ 崩壊の研究

東北大学  
根岸 健太郎

セグメントーション  
二モ負ケズ  
”フィットノットコンバージ“  
二モ負ケズ  
雪ニモ夏ノ暑サニモ負ケヌ  
丈夫ナ体ヲ持チ  
欲ハアルヨク怒ル  
イツモシヅカニワラツテイル

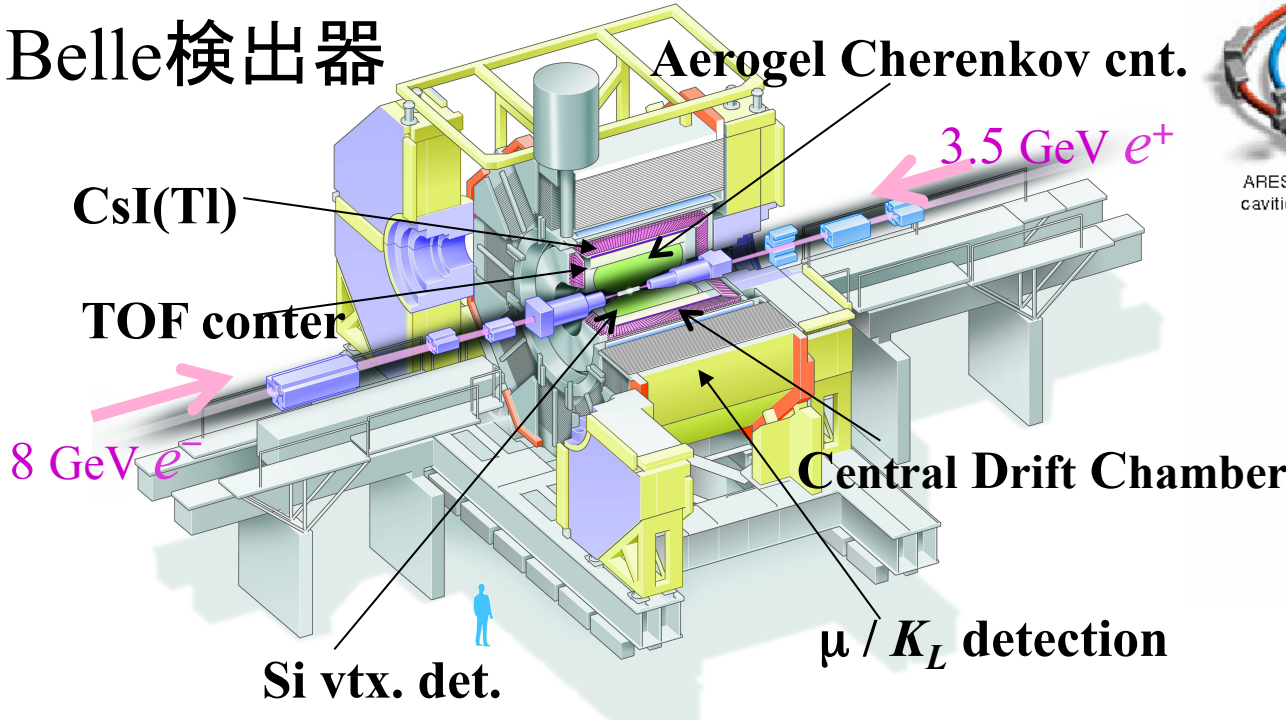
# 目次

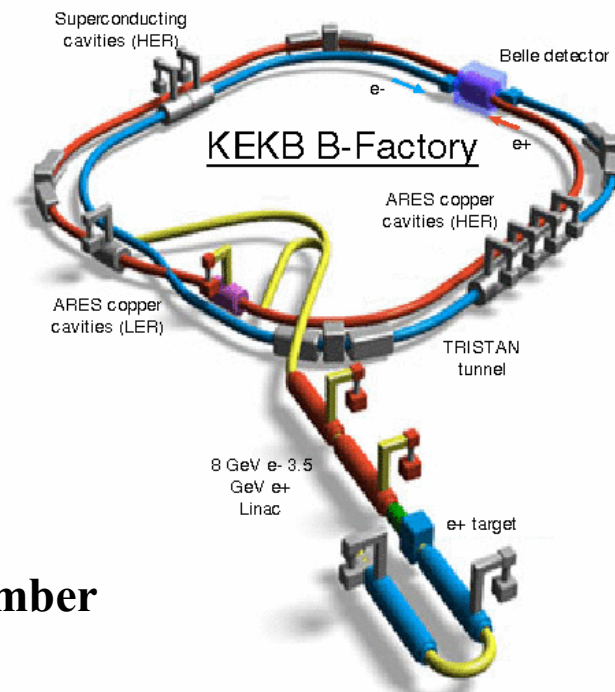
- Belle実験
- $\phi_3$ 
  - CP非保存角  $\phi_3$
- $B \rightarrow D K$ 崩壊
  - GLW法
  - ADS法
  - GGSZ法(Dalitz)
  - $R_{D K^*}$ 測定
  - $B^0 \rightarrow [K_S \pi \pi]_D K^{*0}$
- まとめ

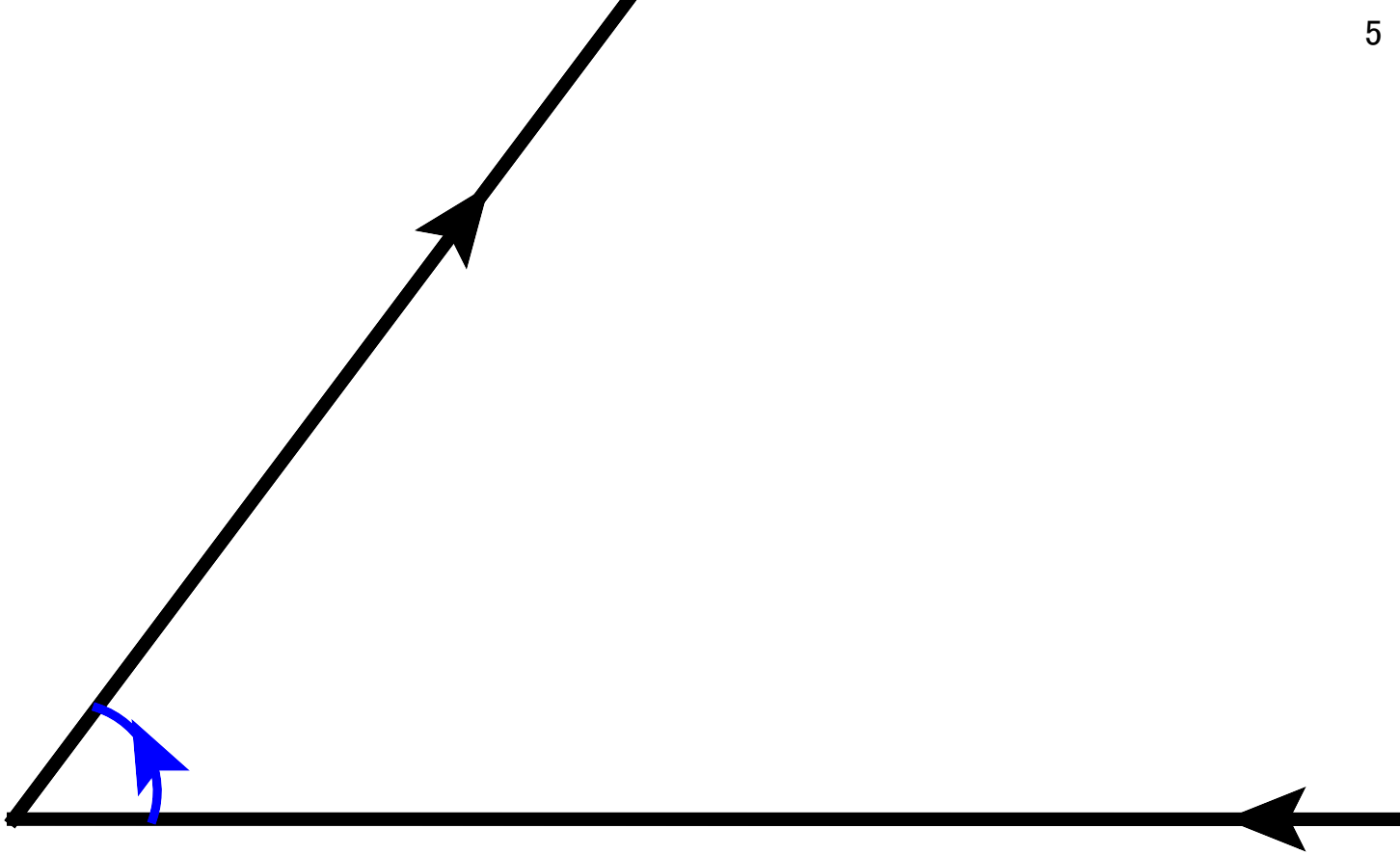


# BELLE実験

# Belle実験

- Belle実験
    - $e^+e^-$ 衝突で  $Y(4S)$ ( $b\bar{b}$ レゾナンス)を生成 
$$\begin{aligned} Y(4S) &\rightarrow B^+B^- \quad \sim 50 \% \\ &\rightarrow \bar{B}^0B^0 \quad \sim 50 \% \end{aligned}$$
  - KEKB加速器
    - $e^- : 8.0 \text{ GeV}, e^+ : 3.5 \text{ GeV}$ , 重心エネルギー :  $10.6 \text{ GeV}$  (非線形)
    - $e^+e^-$ 衝突器として世界最高のルミノシティ
  - Belle検出器
 

**Aerogel Cherenkov cnt.**  
**CsI(Tl)**  
**TOF counter**  
**Central Drift Chamber**  
**Si vtx. det.**  
 **$\mu / K_L$  detection**  
**3.5 GeV  $e^+$**   
**8 GeV  $e^-$**
- 
- KEKB B-Factory**  
 Superconducting cavities (HER)  
 ARES copper cavities (HER)  
 ARES copper cavities (LER)  
 TRISTAN tunnel  
 $8 \text{ GeV } e^- - 3.5 \text{ GeV } e^+$  Linac  
 $e^+$  target

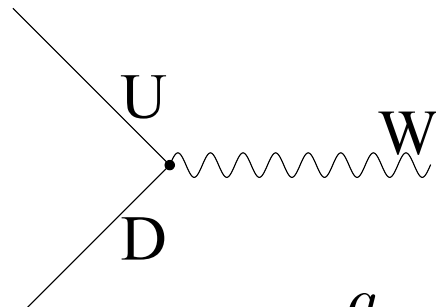


$\phi_3$

# CP非保存角 $\phi_3$

- CKM(Cabibbo-小林-益川)行列

- 弱い相互作用の荷電力レントに入ってくる行列
- 質量の固有状態とフレイバーの固有状態を混合



$$\begin{aligned} U &= (u, c, t) \\ D &= (d, s, b) \\ U_L, D_L &: \text{左巻き成分} \end{aligned}$$

$$\mathcal{L}_{int} = -\frac{g}{\sqrt{2}} (\bar{U}_L \gamma_\mu V_{CKM} D_L W_\mu^+) + h.c.$$

- CKM行列はユニタリでなければならない

$$V_{CKM} = \begin{pmatrix} V_{ud} & V_{us} & V_{ub} \\ V_{cd} & V_{cs} & V_{cb} \\ V_{td} & V_{ts} & V_{tb} \end{pmatrix}$$

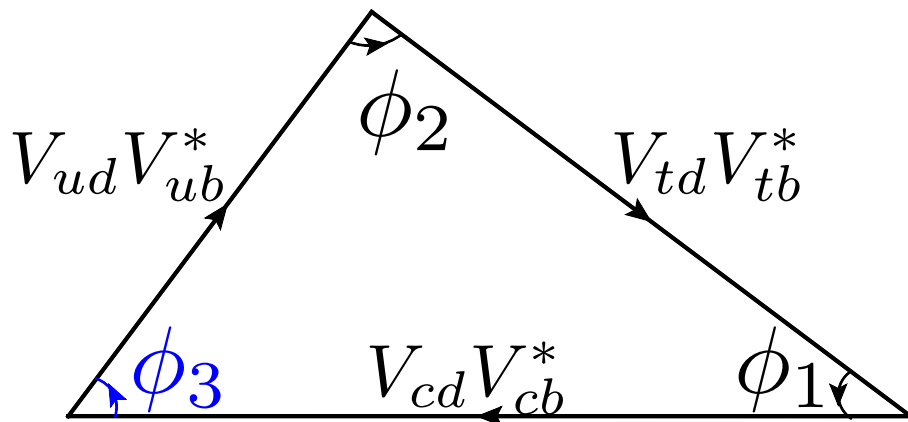
$$V_{CKM} V_{CKM}^\dagger = \begin{pmatrix} 1 & 0 & 0 \\ 0 & 1 & 0 \\ 0 & 0 & 1 \end{pmatrix}$$

$$V_{ud} V_{ub}^* + V_{cd} V_{cb}^* + V_{td} V_{tb}^* = 0$$

- 各項が複素数 → 複素平面上に三角形 → ユニタリ三角形

# ユニタリ三角形

- ユニタリ三角形



$$\phi_3 \equiv \arg\left(\frac{V_{ud}V_{ub}^*}{-V_{cd}V_{cb}^*}\right)$$

$$\sim -\arg(V_{ub})$$

現在の各角度測定値

$$\phi_1 = (21.38^{+0.79}_{-0.77})^\circ$$

$$\phi_2 = (88.7^{+4.6}_{-4.3})^\circ$$

$$\phi_3 = (66 \pm 12)^\circ$$

ICHEP 12

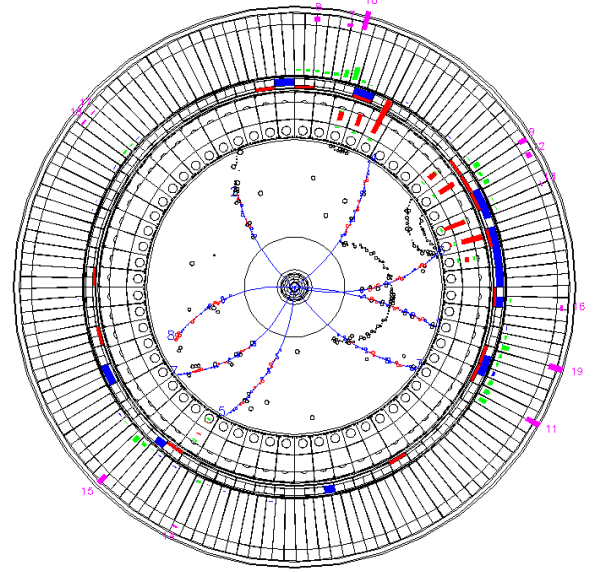
$\phi_3$ の精度が悪い  
精度の向上

→ SMパラメターの精密測定  
→ New Physicsの手掛かり?

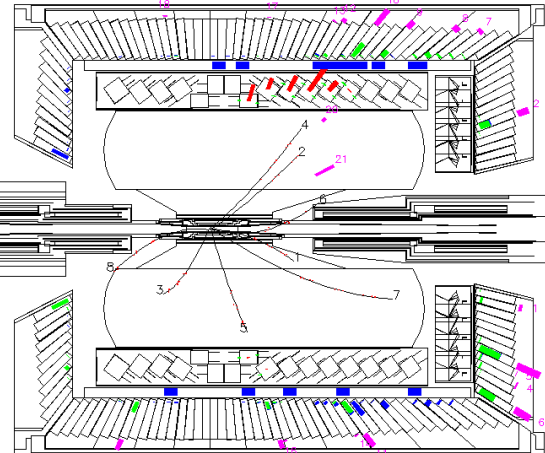
- $\phi_3$ は  $b \rightarrow u$ 遷移のある( $V_{ub}$ の含まれる)モードで測定する事となる。
  - どのように測定するか → 次

**BELLE**

Exp 3 Run 21 Form 2 Event 7854  
 Eler 8.00 Eler 3.50 Date/TIME Tue Jun 1 14z37z44 1999  
 TrgID 0 DetVer 0 MagID 0 BField 1.50 DspVer 2.01

**BELLE**

Exp 3 Run 21 Form 2 Event 7854  
 Eler 8.00 Eler 3.50 Date/TIME Tue Jun 1 14z37z44 1999  
 TrgID 0 DetVer 0 MagID 0 BField 1.50 DspVer 2.01

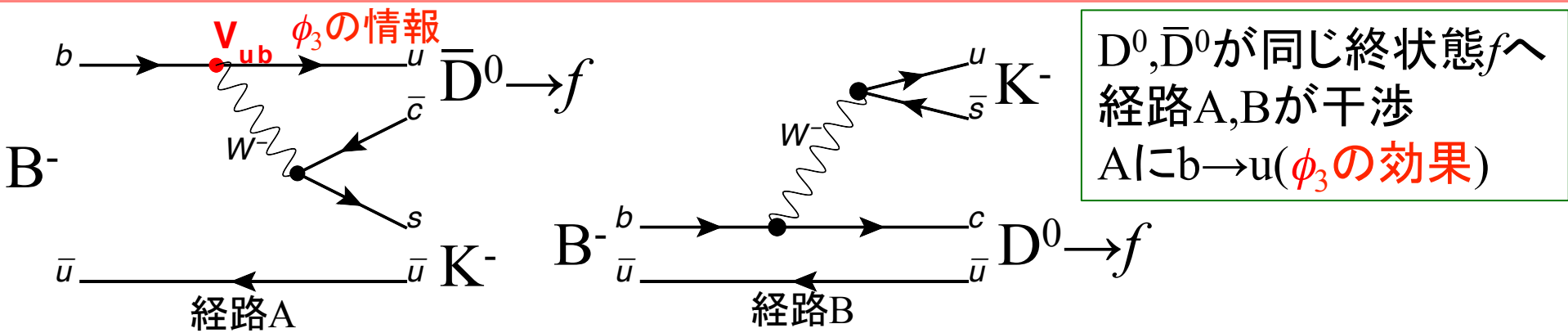


$B \rightarrow DK$ 崩壊を用い  $\phi_3$  を測る  
 GLW, ADS, GGSZ法

# B $\rightarrow$ DK崩壊

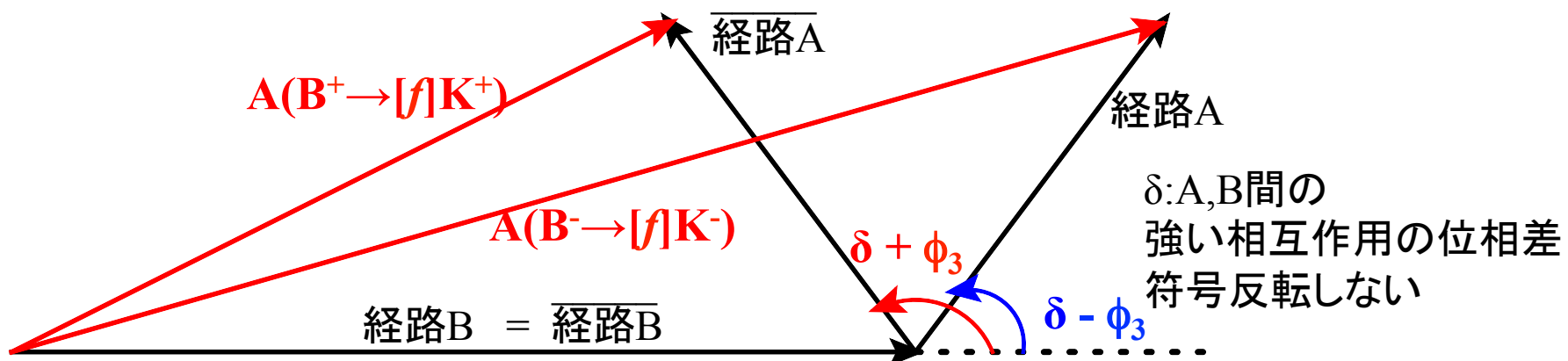
# $\phi_3$ 測定と $B^- \rightarrow D^0 \bar{D}^0$ 崩壊

$D : D^0 \text{ or } \bar{D}^0$



経路A,BのAmplitudeの足し算をする訳ですが...

- Charge Conjugateで弱い相互作用の位相は符号が**反転する**
- 経路A,B間で強い相互作用の位相差 $\delta$ が入ってくる  
(Charge Conjugateで符号は**反転せず**)



- 観測量は赤線の(経路A,Bの干渉を経た)二乗 ( $B^-$ と $B^+$ の崩壊分岐比)

# $\phi_3$ 測定

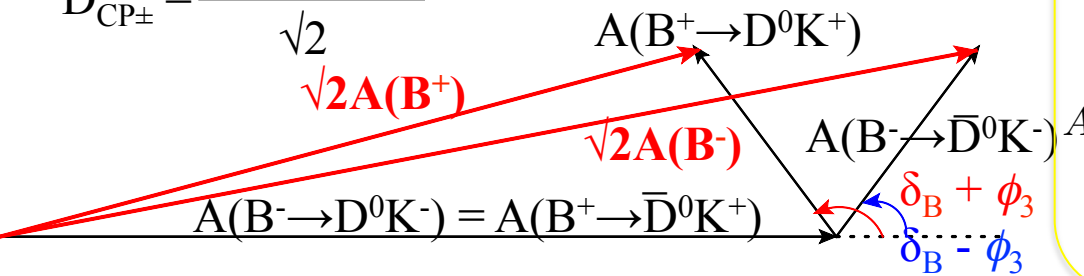
- $B^- \rightarrow D K^-$ 
  - GLW法 (Gronau-London-Wyler)  
 $D \rightarrow \pi\pi$ , CP Eigenstate
    - Signal大きい
    - CP非対称性小さい
  - ADS法 (Atwood-Dunietz-Soni)  
 $D \rightarrow K\pi$ , Flavor Specific
    - Signal小さい
    - CP非対称性大きい
  - GGSZ法(Dalitz) (Giri-Grossman-Soffer-Zupan)  
 $D \rightarrow K_S \pi\pi$ , 三体崩壊
    - GLWとADSを引っ括め解析

大きく三つに分けて、順に説明します

# GLW, ADS法

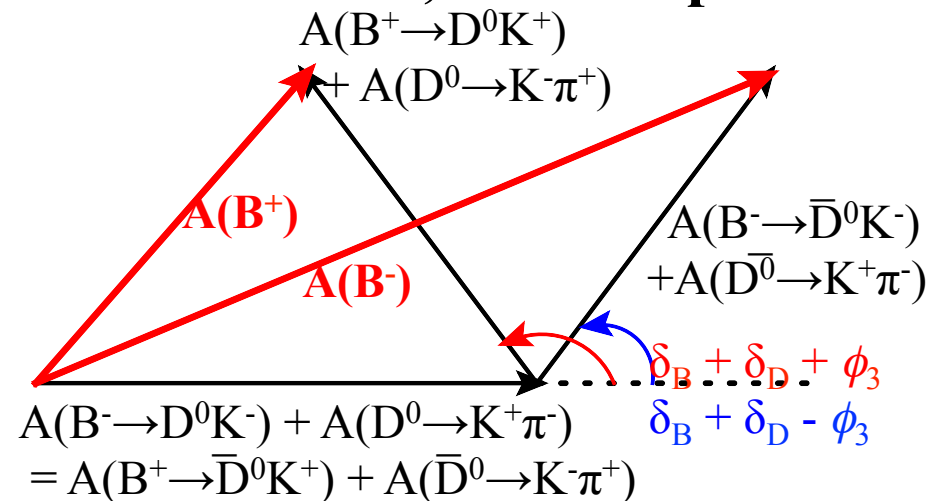
## GLW法 D→CP Eigenstate

$$D_{CP\pm} = \frac{(D^0 \pm \bar{D}^0)}{\sqrt{2}}$$



$$\begin{aligned} R_\pm &= \frac{\Gamma(B^- \rightarrow D_{CP\pm} K^-) + \Gamma(B^+ \rightarrow D_{CP\pm} K^+)}{\Gamma(B^- \rightarrow D_{\text{fav}} K^-) + \Gamma(B^+ \rightarrow D_{\text{fav}} K^+)} \\ &= 1 + r_B^2 \pm 2r_B \cos \delta_B \cos \phi_3 \\ A_\pm &= \frac{\Gamma(B^- \rightarrow D_{CP\pm} K^-) - \Gamma(B^+ \rightarrow D_{CP\pm} K^+)}{\Gamma(B^- \rightarrow D_{CP\pm} K^-) + \Gamma(B^+ \rightarrow D_{CP\pm} K^+)} \\ &= \frac{\pm 2r_B \sin \delta_B \sin \phi_3}{R_\pm} \end{aligned}$$

## ADS法 Kπ, Flavor Specific



$$\begin{aligned} R_{ADS} &= \frac{\Gamma(B^- \rightarrow D_{\text{sup}} K^-) + \Gamma(B^+ \rightarrow D_{\text{sup}} K^+)}{\Gamma(B^- \rightarrow D_{\text{fav}} K^-) + \Gamma(B^+ \rightarrow D_{\text{fav}} K^+)} \\ &= r_B^2 + r_D^2 + 2r_B r_D \cos(\delta_B + \delta_D) \cos \phi_3 \\ A_{ADS} &= \frac{\Gamma(B^- \rightarrow D_{\text{sup}} K^-) - \Gamma(B^+ \rightarrow D_{\text{sup}} K^+)}{\Gamma(B^- \rightarrow D_{\text{sup}} K^-) + \Gamma(B^+ \rightarrow D_{\text{sup}} K^+)} \\ &= \frac{\pm 2r_B r_D \sin(\delta_B + \delta_D) \sin \phi_3}{R_{ADS}} \end{aligned}$$

$r_B$  : 経路A,Bの比(B崩壊の比)

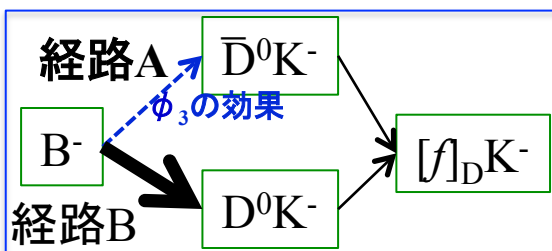
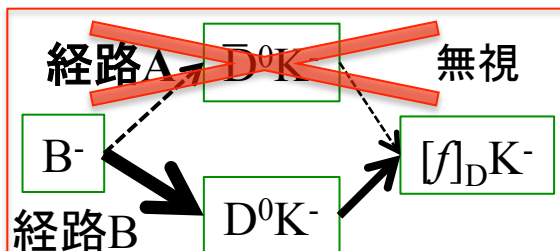
$\delta_B$  : B崩壊の

強い相互作用の位相差

$r_D$  : D崩壊の比

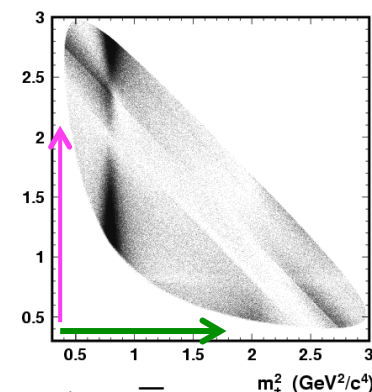
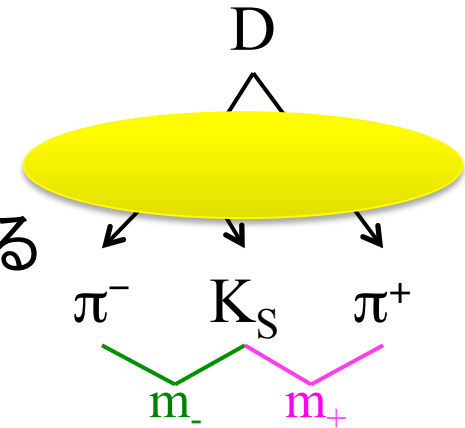
$\delta_D$  : D崩壊の

強い相互作用の位相差



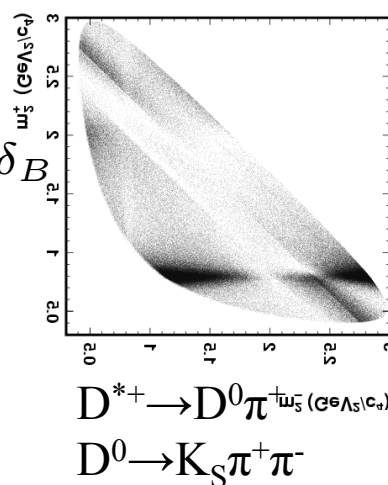
# GGSZ法

- $D \rightarrow K_S \pi\pi$ , etc
  - $D$ 崩壊が三体崩壊
  - 三体崩壊のレゾナンス分布に  $\phi_3$  の影響が現れる
    - ・ 経由するレゾナンス(Dalitz図の場所)によって  $D$ 崩壊の強い相互作用の位相( $\delta_D$ )が異なる



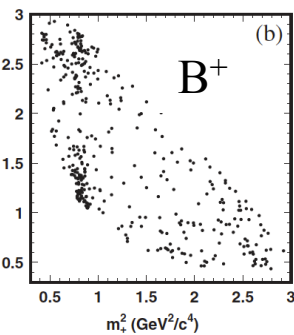
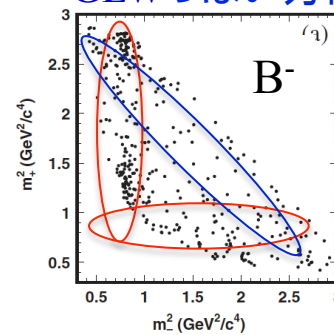
$$\bar{D}^0 \rightarrow K_S \pi^+ \pi^-$$

$$+ r_B e^{\pm i\phi_3 + i\delta_B}$$



$$D^0 \rightarrow K_S \pi^+ \pi^-$$

ADSっぽい方向  
GLWっぽい方向



典型的に求める四つの変数

$$x_\pm = r_B \cos(\pm\phi_3 + \delta_B)$$

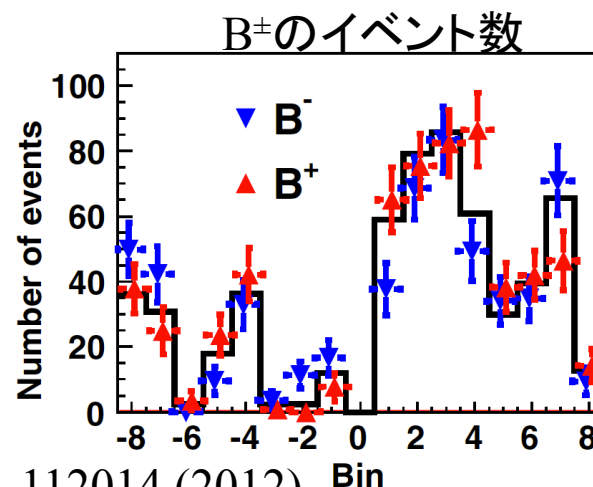
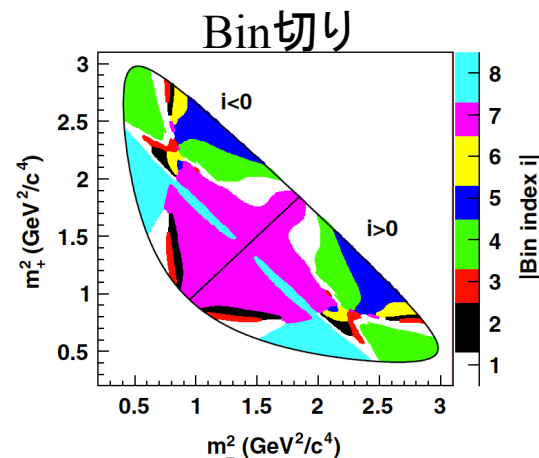
$$y_\pm = r_B \sin(\pm\phi_3 + \delta_B)$$

A. Poluektov, PRL 81, 112002 (2010)

$$\phi_3 = (78.4 \pm 3.6(\text{stat.}) \pm 8.9(\text{syst.})^{+11.6}_{-10.8}(\text{model}))^\circ$$

# Model Independent Dalitz

- $D \rightarrow K_S \pi\pi$ , etc
  - $D$ 崩壊が三体崩壊
  - 三体崩壊のレゾナンス分布に  $\phi_3$  の影響が現れる
    - ・ 経由するレゾナンス(Dalitz図の場所)によって  $D$ 崩壊の強い相互作用の位相( $\delta_D$ )が異なる
- Dalitz図上  $\delta_D$  値の等高線を引き、Bin切りして単純に Signal を数える  
Bin毎に  $\delta_D$  が解っているので  $\phi_3$  が出せる



A. Poluektov, PRD 85, 112014 (2012)

$$\phi_3 = (77.3^{+15.1}_{-14.9} \pm 4.1 \pm 4.3)^\circ$$

$$r_B = 0.145 \pm 0.030 \pm 0.010 \pm 0.011$$

$$\delta_B = (129.9 \pm 15.0 \pm 3.8 \pm 4.7)^\circ$$

レゾナンス分布を評価する  
モデルの不定性が無い  
現状では統計エラーが優位  
→ D,B Factory の  
統計が溜まれば  
(次世代 D,B Factory で)  
解決出来る!!

# $\phi_3$ 測定

- $B^- \rightarrow D K^-$ 
  - GLW法  
 $D \rightarrow \pi\pi$ , CP Eigenstate
    - Signal大きい
    - CP非対称性小さい
  - ADS法  
 $D \rightarrow K\pi$ , Flavor Specific
    - Signal小さい
    - CP非対称性大きい
  - GGSZ法(Dalitz)  
 $D \rightarrow K_S \pi\pi$ , 三体崩壊
    - GLWとADSを引っ括め解析

現在の $\phi_3$ は  
 これらの結果を  
 Combineしたもの

全部ひっくるめて、連立方程式を作る事になるので、  
 他のモードを解析すればする程 $\phi_3$ の制限がかかる！

# 中性Bでの $\phi_3$ 測定

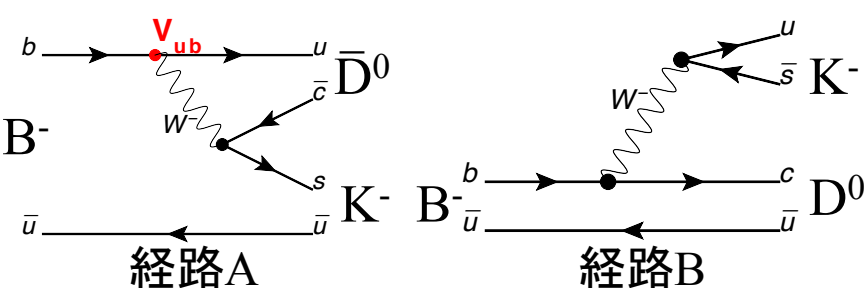
- $B^- \rightarrow D K^-$  同様の方法がとれる
  - GLW法  
 $D \rightarrow \pi\pi$ , CP Eigenstate
    - Signal大きい
    - CP非対称性小さい
  - ADS法  
 $D \rightarrow K\pi$ , Flavor Specific
    - Signal小さい
    - CP非対称性大きい
  - GGSZ法(Dalitz)  
 $D \rightarrow K_S \pi\pi$ , 三体崩壊
    - GLWとADSを引っ括め解析
- $\bar{B}^0 \rightarrow D \bar{K}^{*0}$ 
  - GLW法
  - ADS法
  - GGSZ法(Dalitz)

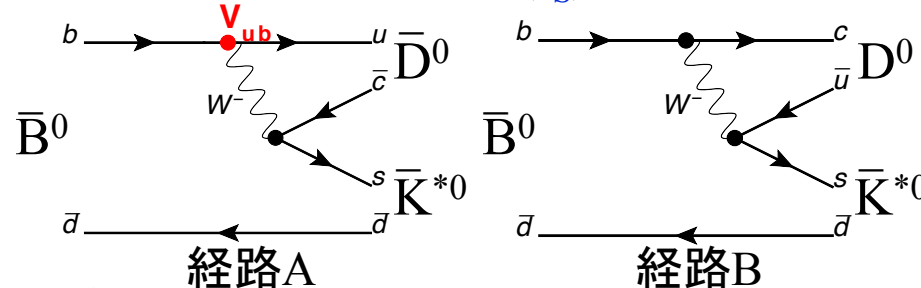
**Belleの  
Full Dataで  
解析しているのは  
自分だけ**

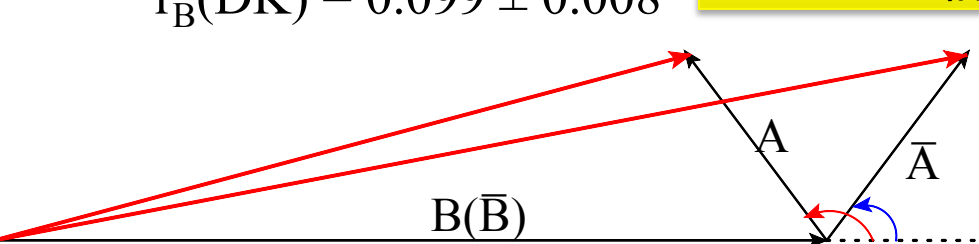
中性Bで同様に解析した時の欠点と利点

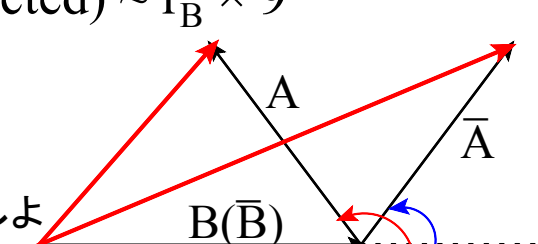
→ 次ページ

# 中性Bでの $\phi_3$ 測定

- $B^- \rightarrow D K^-$  ← 同様の方法がとれる → •  $\bar{B}^0 \rightarrow \bar{D} \bar{K}^{*0}$ 
  - 崩壊分岐比  
 $Br(B^- \rightarrow D^0 K^-) = (3.68 \pm 0.33) \times 10^{-4}$  ~ 1/10
  - 経路A,Bの比
- 

経路A                            経路B
- 

経路A                            経路B
- $r_B(DK) = 0.099 \pm 0.008$  → ~ 10倍(?) →  $r_S(\text{expected}) \sim r_B \times 9$
- 

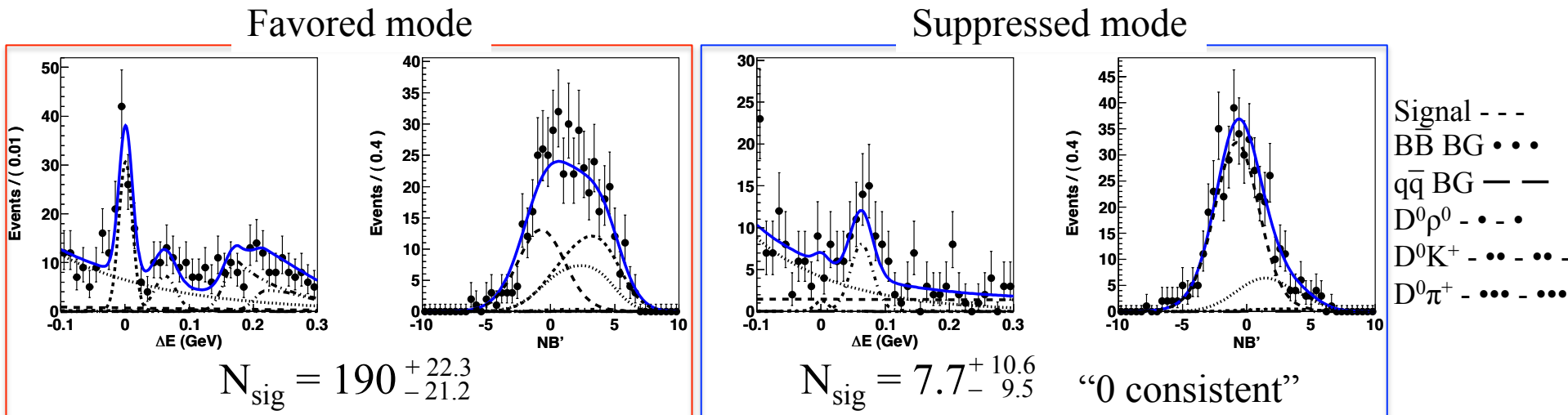
右の方が  
非対称度  
測り易そうでしょ
- 
- ☺  $K^{*0} \rightarrow K^+ \pi^-$ によるB Flavor Tag
  - $K^{*0} \rightarrow \begin{cases} K^+ \pi^- & \sim 2/3 \\ K^0 \pi^0 & \sim 1/3 \end{cases}$
  - $B^0 - \bar{B}^0$ 混合の効果が入らない

# $B^0 \rightarrow D K^{*0}$

- 今までやった事
  - ADS法  
 $D \rightarrow K\pi$ にて  $R_{ADS}$  を測定

$$R_{DK^*} \approx \frac{\Gamma(B^0 \rightarrow [K^+\pi^-]_D K^{*0}) + \Gamma(\bar{B}^0 \rightarrow [K^-\pi^+]_D \bar{K}^{*0})}{\Gamma(B^0 \rightarrow [K^-\pi^+]_D K^{*0}) + \Gamma(\bar{B}^0 \rightarrow [K^+\pi^-]_D \bar{K}^{*0})}$$

$$= r_S^2 + r_D^2 + 2kr_S r_D \cos(\delta_S + \delta_D) \cos \phi_3 \quad \text{Favored mode}$$



PRD 86, 011101 (2012)

- $R_{ADS} = (4.5^{+5.6+2.8}_{-5.0-1.8}) \times 10^{-2}$   
 $< 0.16 (@ 95 \% \text{ C.L.})$

$r_D^2 = (3.80 \pm 0.10) \times 10^{-3}$  (PDG)  
 $k \sim 1$  (BaBar simulation studies)  
 から  $R_{DK^*} \sim r_S^2$  (非常に保守的に)として  
 $r_S < 0.4 \leftarrow$  予想値より小さい可能性!!

- これからやる事
  - $D \rightarrow K_S \pi\pi$  Model Independent Dalitz

# $B^0 \rightarrow [K_S \pi\pi]_D K^{*0}$

- $B^0 \rightarrow [K_S \pi\pi]_D K^{*0}$  に Model Independent な Dalitz を適用する

- 予想されるシグナル数

$$N_{\text{sig}} = N_{\text{fav}} \times \frac{Br(D \rightarrow K_S \pi\pi)}{Br(D \rightarrow K\pi)} \times \frac{eff_{K_S \pi\pi}}{eff_{\text{fav}}}$$

$$\sim 190 \times \frac{3 \times 10^{-2}}{4 \times 10^{-2}} \times \frac{9.7 \times 10^{-2}}{21.0 \times 10^{-2}}$$

~ 68 events

$N_{\text{fav}} : B^0 \rightarrow [K\pi]_D K^{*0}$  Favored Mode の  
シグナル数

$eff_{\text{fav}(K_S \pi\pi)} : B^0 \rightarrow [K\pi]_D K^{*0}$  Favored Mode  
( $B^0 \rightarrow [K_S \pi\pi]_D K^{*0}$ ) の検出効率

- 参考) 荷電 B で同等程度の Signal 統計による  $\phi_3$  測定の結果 (Belle)

- A. Poluktov, PRD 70, 072003 (2004)  
 $B^- \rightarrow D^{(*)} K^-$  で Model Dependent

$$\phi_3 = (77^{+17}_{-19} \pm 13 \pm 11(\text{model}))^\circ$$

$$DK^- \quad 146 \text{ events} \rightarrow r_B = 0.26^{+0.10}_{-0.14}$$

( $D^* K^- \quad 39 \text{ events}$ )

$\sim 2\sigma$  で求まっている

- 統計では Factor ~1/2 程度だが、  
中性 B の方が非対称度が大きい

# $B^0 \rightarrow [K_S \pi\pi]_D K^{*0}$ 続き

- 現在の状況

- 中性Bは荷電Bと比べSignalが小さいのでBGとの戦い
- NeuroBayesを用いた $q\bar{q}$  Background Suppression

Belleで一般的に  
使われていたもの  
LR(KSFW)  
 $|\cos\theta_B|$

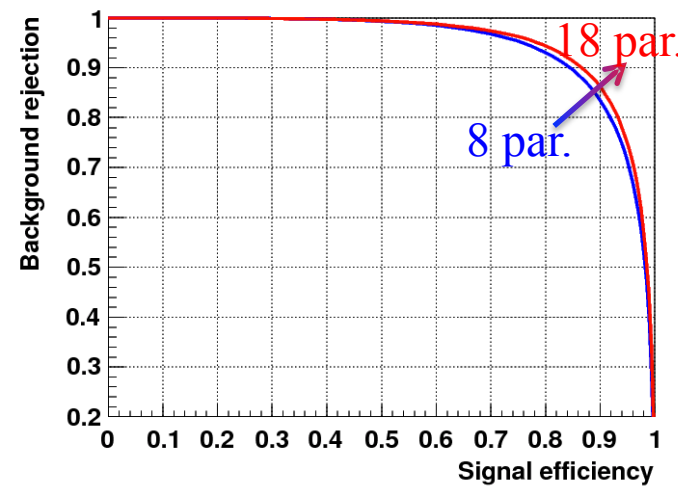
$B \rightarrow [K\pi]_D K^{*0}$ で使ったもの

$|\cos\theta_{thr}|$   
 $\Delta z$   
 Distance DK\*  
 $|qr|$   
 $\cos\theta_B^D$   
 $\Delta Q$



new parameters

sphe  
 apla  
 v1\_z  
 v1\_v1  
 v2\_v2  
 v3\_v3  
 thru\_v\_z  
 thru\_rec  
 thru\_oth  
 thru\_all



Sig. Eff. [%]	BG rej. [%]	
	18 par.	8 par.
80	92.9	91.8
90	86.0	84.4
95	78.0	75.6
99	55.9	53.9

少しの改善が見える  
 これら10パラメータが  
 実際使えるのかのCheckが必要!!

# まとめ

# Summary and Plan

- まとめ
  - $\phi_3$  : SMのパラメータの測定それ自体とても重要
    - New Physicsの手掛かりとなる可能性
  - 中性Bでの $\phi_3$ 測定は未だ行われていない
    - 荷電Bでの結果とのクロスチェック
  - $B^0 \rightarrow [K\pi]_D K^{*0}$ での $R_{DK^*}$ の上限値を更新する事に成功
    - $R_{DK^*} < 0.24$  (95% C.L.) @BaBar 2009 with 465M BB
    - $< 0.16$  (95% C.L.) @Belle My result with 772M BB
- 今後の方針、課題
  - $B^0 \rightarrow [K_S \pi\pi]_D K^{*0}$ のDalitz解析
    - $q\bar{q}$  Suppression
    - $(\Delta E, M_{bc}, NB)$ の三次元FitでPhase Space全体のSignalを求める

**Thank you!!!**



**BACK UP**

# R<sub>DK\*</sub>

$$R_{DK^*} \equiv \frac{\Gamma(B^0 \rightarrow [K^+\pi^-]_D K + \pi^-) + \Gamma(\bar{B}^0 \rightarrow [K^-\pi^+]_D K^- \pi^+)}{\Gamma(B^0 \rightarrow [K^-\pi^+]_D K^+ \pi^-) + \Gamma(\bar{B}^0 \rightarrow [K^+\pi^-]_D K^- \pi^+)} \\ = r_S^2 + r_D^2 + 2k k_D r_S r_D \cos(\delta_S + \delta_D) \cos \phi_3$$

$$A_{DK^*} \equiv \frac{\Gamma(B^0 \rightarrow [K^+\pi^-]_D K + \pi^-) - \Gamma(\bar{B}^0 \rightarrow [K^-\pi^+]_D K^- \pi^+)}{\Gamma(B^0 \rightarrow [K^+\pi^-]_D K^+ \pi^-) + \Gamma(\bar{B}^0 \rightarrow [K^-\pi^+]_D K^- \pi^+)} \\ = \frac{2k k_D r_S r_D \sin(\delta_S + \delta_D) \sin \phi_3}{R_{DK^*}}$$

B<sup>0</sup>→DK<sup>\*0</sup>モードに特有

$$r_S^2 \equiv \frac{\Gamma(B^0 \rightarrow D^0 K^+ \pi^-)}{\Gamma(B^0 \rightarrow \bar{D}^0 K^+ \pi^-)} \\ = \frac{\int dp A_A^2(p)}{\int dp A_B^2(p)}$$

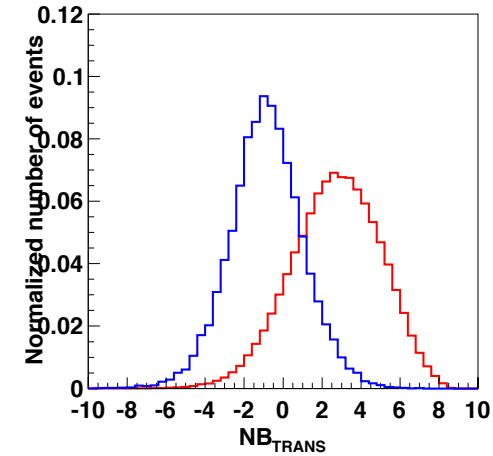
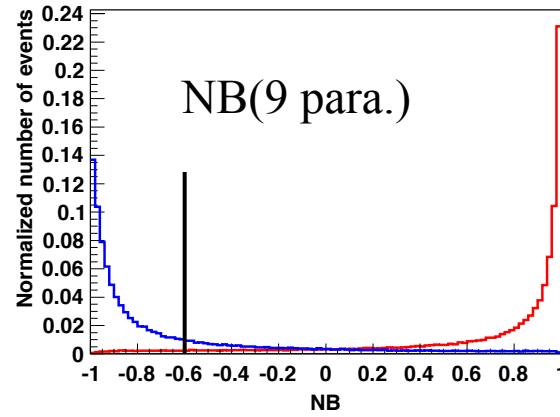
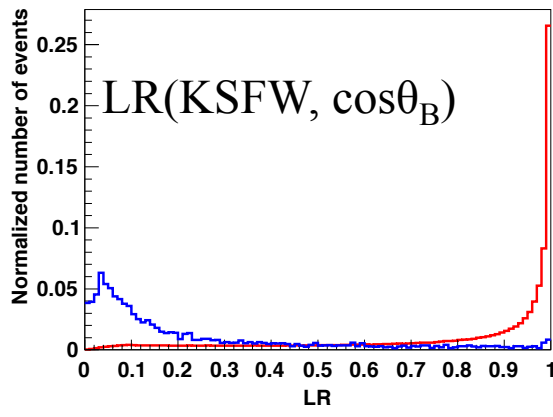
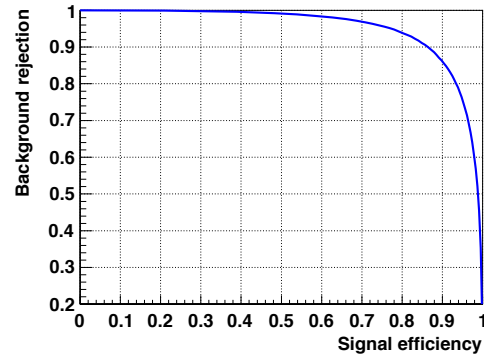
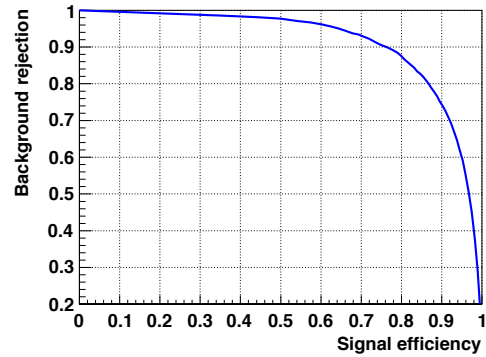
$$k e^{i\delta_S} \equiv \frac{\int dp A_A(p) A_B(p) e^{i\delta(p)}}{\sqrt{\int dp A_A^2(p) \int dp A_B^2(p)}}$$

他の実験で良く測定されている

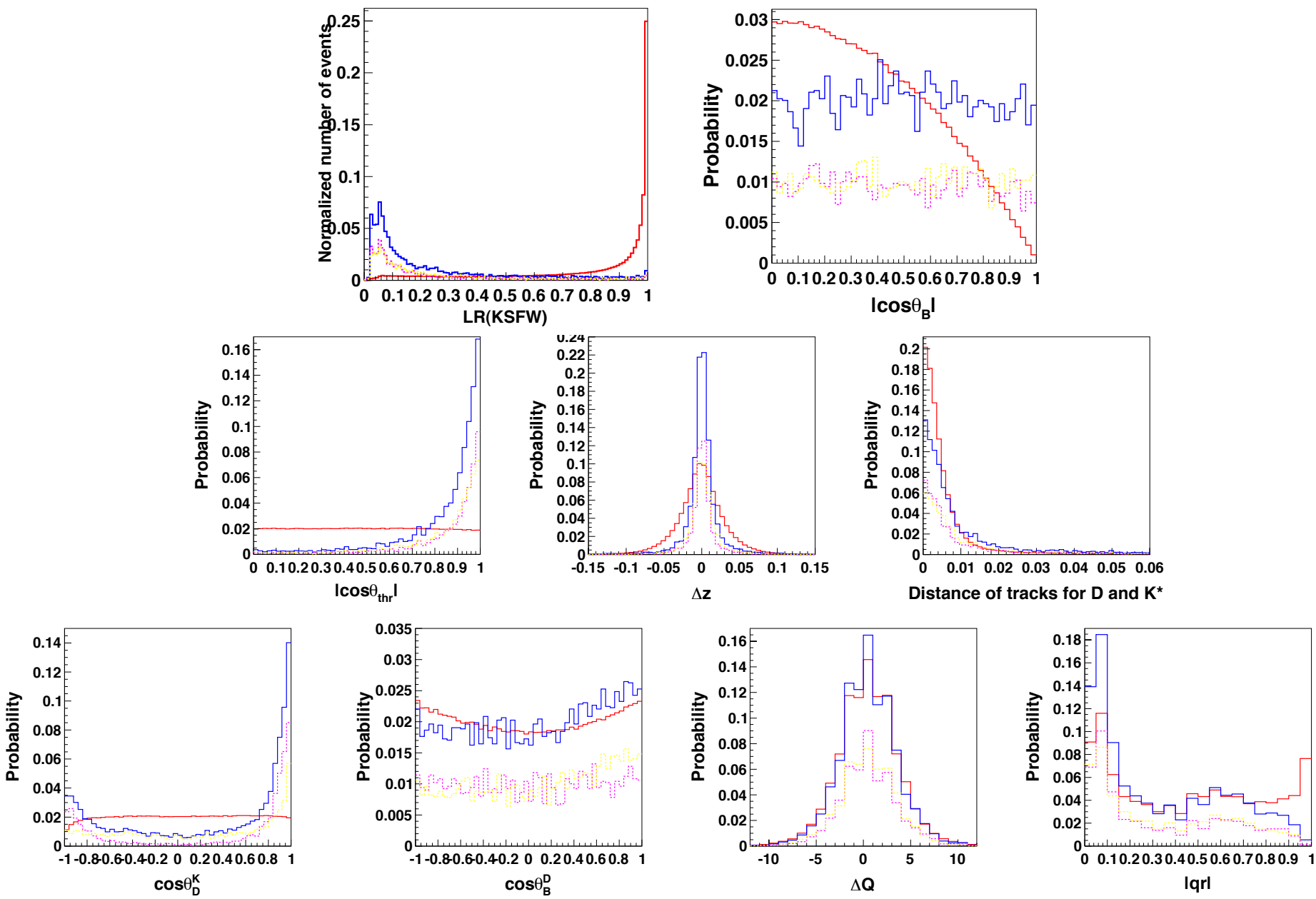
$$r_D^2 \equiv \frac{\Gamma(D^0 \rightarrow K^+ \pi^-)}{\Gamma(D^0 \rightarrow K^- \pi^+)} \\ = \frac{\int dm A_{DCS}^2(m)}{\int dm A_{CF}^2(m)}$$

$$k_D e^{i\delta_D} \equiv \frac{\int dm A_{DCS}(m) A_{CF}(m) e^{i\delta(m)}}{\sqrt{\int dm A_{DCS}^2(m) \int dm A_{CF}^2(m)}}$$

# Neurobayes



# NeuroBayes input parameters



# Selection Criteria

- $K^\pm/\pi^\pm$  同定
  - Efficiency = 90 %, Fake rate  $\sim 10 \%$
- $D^0, K^{*0}$  の再構成
  - $D^0 : |M_{K\pi} - M_{D0}| < 0.015 \text{ GeV } (\pm 3\sigma)$
  - $K^{*0} : |M_{K\pi} - M_{K^{*0}}| < 0.050 \text{ GeV } (\pm 1\Gamma)$
- $B^0$  の再構成
  - 二つの運動学的変数を利用

$$M_{bc} \equiv \sqrt{E_{\text{beam}}^2 - (p_{D^0} + p_{K^{*0}})^2}$$

・再構成した  $B$  の不変質量に対応

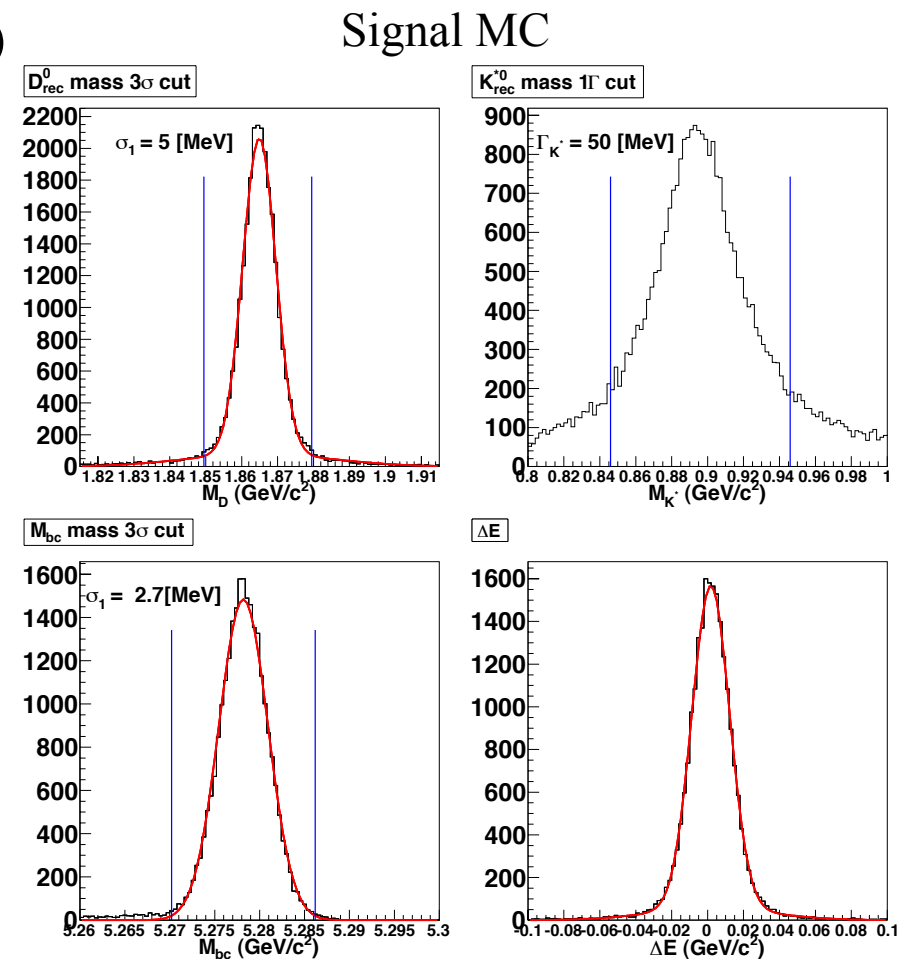
•  $|M_{bc} - M_{B0}| < 0.008 \text{ GeV } (\pm 3\sigma)$

$$\Delta E \equiv E_{D^0} + E_{K^{*0}} - E_{\text{beam}}$$

・エネルギーの保存に対応

シグナルだと  $\sim 0$

• Fit → シグナルの導出

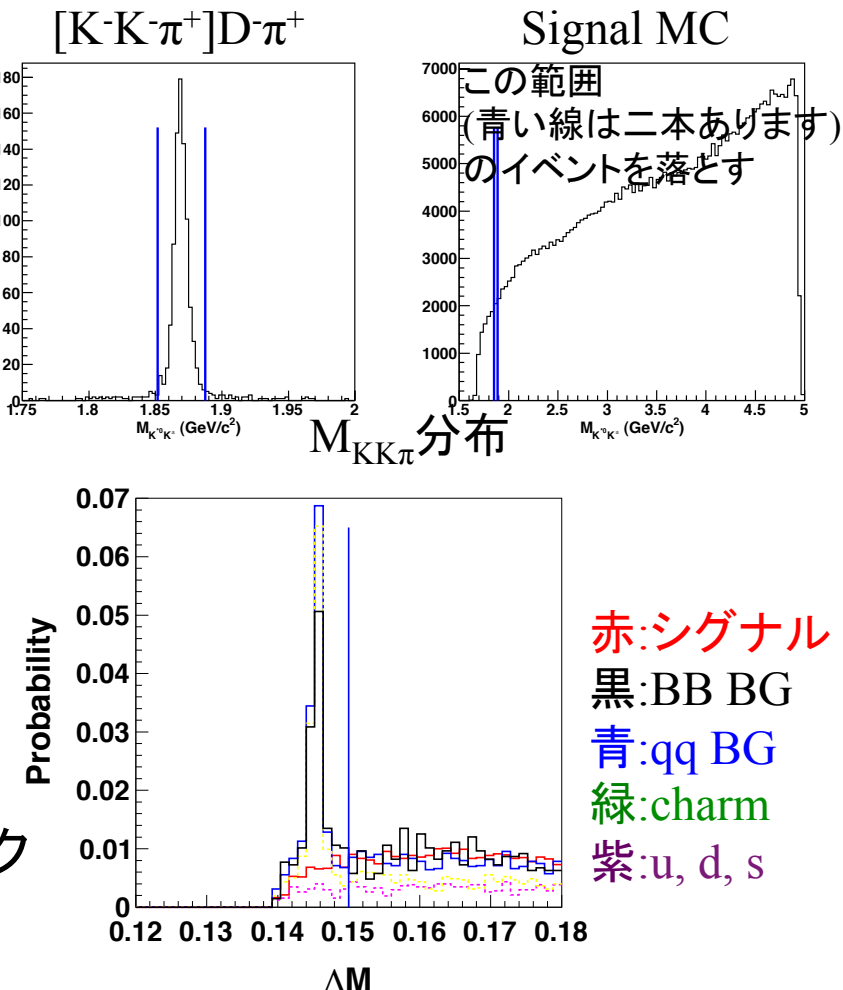


# バックグラウンドの抑制

- $\phi_3$ 測定のモードはは基本的にバックグラウンドとの戦いである
  - $B\bar{B}$ バックグラウンド :  $B \rightarrow XY\dots$
  - $q\bar{q}$ バックグラウンド :  $e^+e^- \rightarrow q\bar{q}$  ( $q = (u, d, s, c)$ )
- $B\bar{B}$ バックグラウンドの抑制
  - 終状態が同じになる崩壊を抑制
    - $[K^-K^-\pi^+]D^-\pi^+$
  - $D^*$ イベント
    - $D^{*+} \rightarrow D^0\pi^+$ 崩壊の  $D^0$ を捉え  
シグナルを再構成してしまう  
 $\Delta M < 0.15$  GeV のイベントを除去

$$\Delta M : M_{D^{*\pm}} - m_{D^0}$$

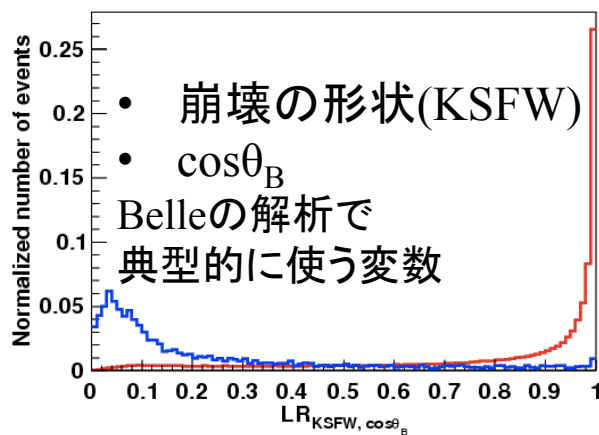
$\Delta M \sim m_\pi$  (0.140 GeV)にピーク



# qq/バックグラウンドの抑制

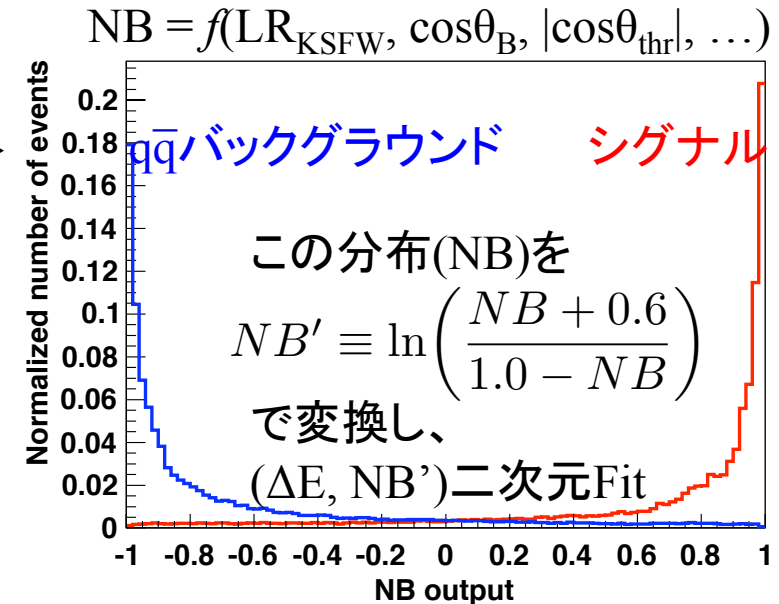
- Neural Network (NeuroBayes)

- qq/バックグラウンドとシグナルで分布の違う変数をインプットし、  
Neural Networkで分離させる、B→DKでは新しい手法

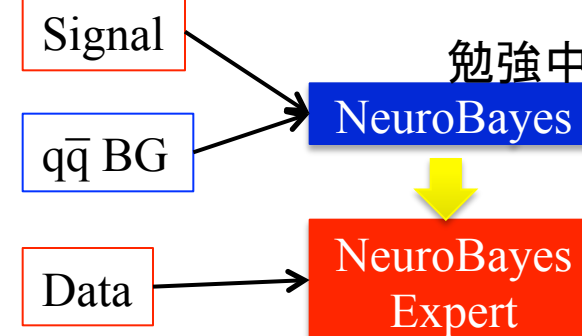


- $|\cos\theta_{thr}|$
- $\Delta z$
- $\cos\theta_{D^K}$
- $|qr|$
- $\Delta Q$
- $DK^*$ の距離
- $\cos\theta_B$

シグナルとBGで分布が違うと考えられる変数(7つ)



適当図解



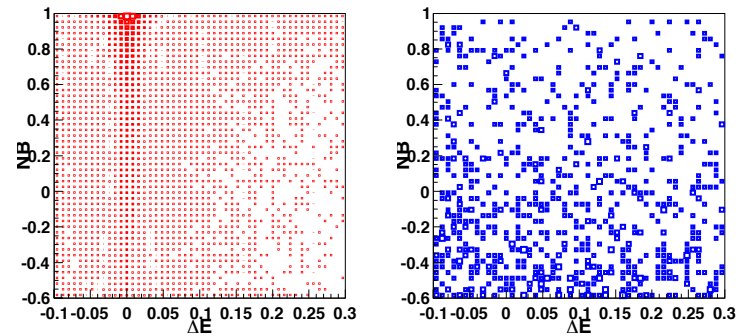
このDataのシグナルっぽさはこれくらい(NB)です

# PDF

We perform  $\Delta E$ -NB' 2D fit.

## PDF for $\Delta E$

- Signal: a double Gaussian fixed from signal MC
- Combinatorial  $B\bar{B}$ : free exponential
- $D^0\rho^0$  :
- $D^0K^+$ :
- $D^0\pi^+$ :
- Peaking BGs: fixed from MC
  - $[K^{*0}\pi^-]_{D^-} K^+$
- $q\bar{q}$ : free 1<sup>st</sup> order Chebychev

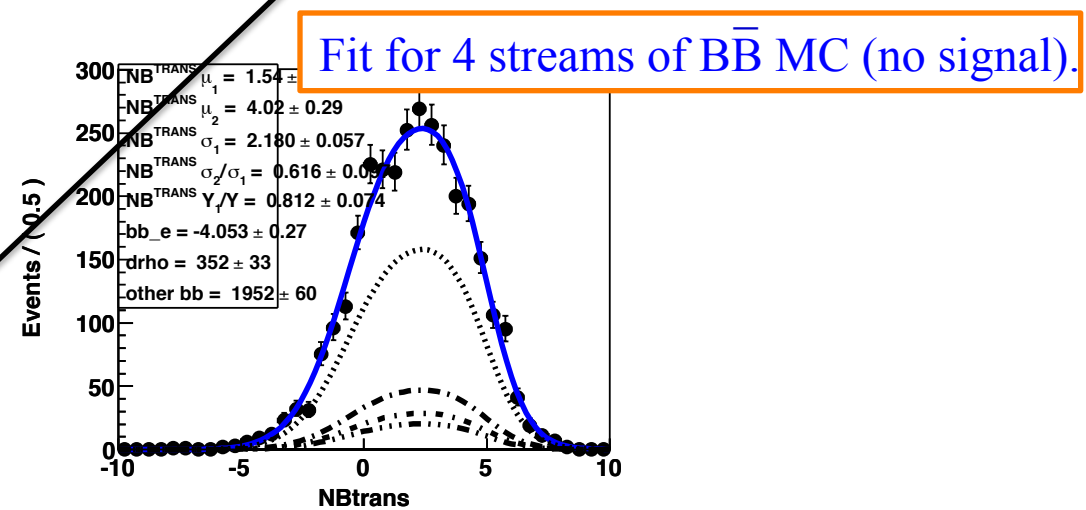
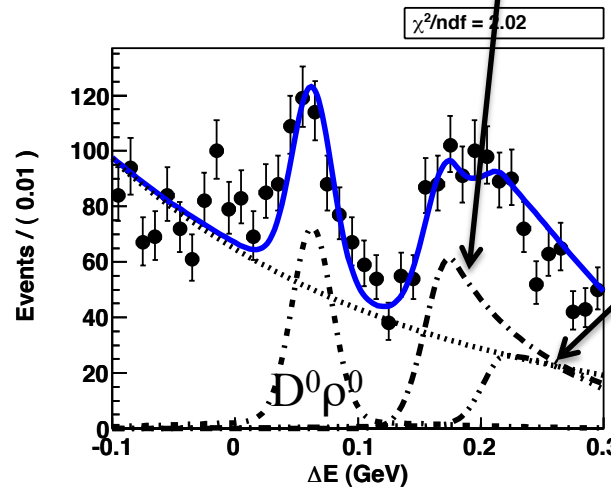
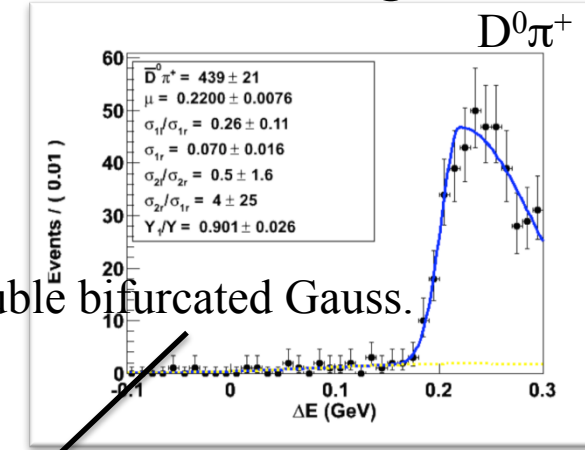
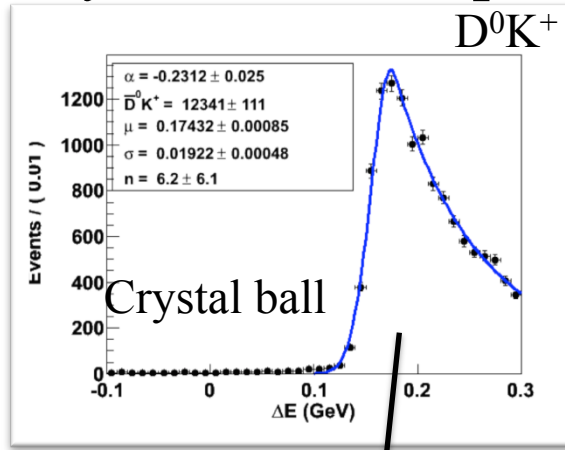


## PDF for NB'

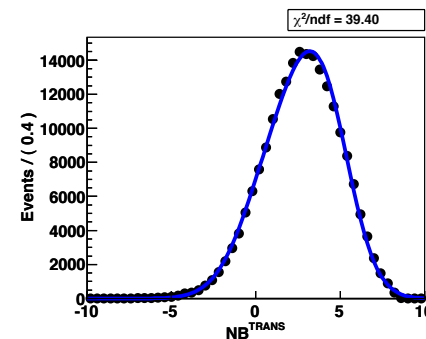
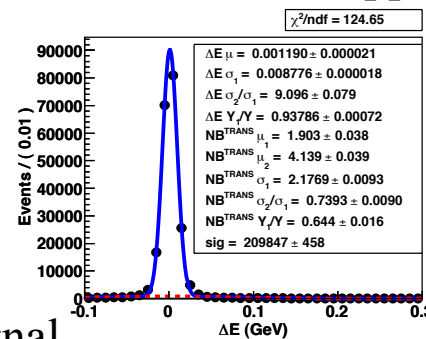
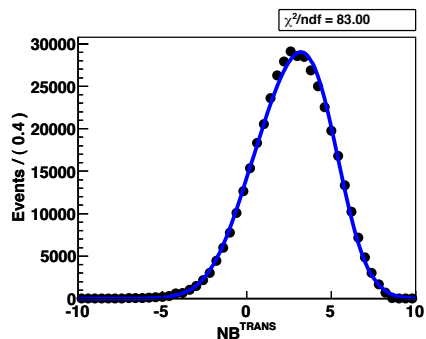
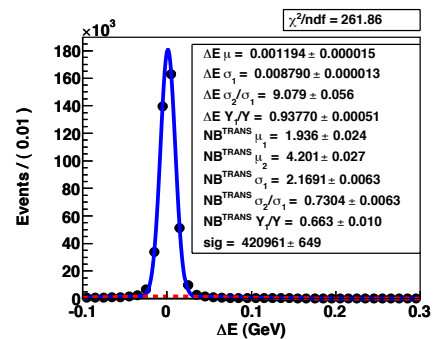
- Signal: a double Gaussian fixed from signal MC
- Comb.  $B\bar{B}$ :
- $D^0\rho^0$ :
- $D^0K^+$ :
- $D^0\pi^+$ :
- Peaking BGs:
- $q\bar{q}$ : a double Gaussian fixed from  $M_{bc}$  sideband of the data.

Double Gaussians  
Fixed from MC

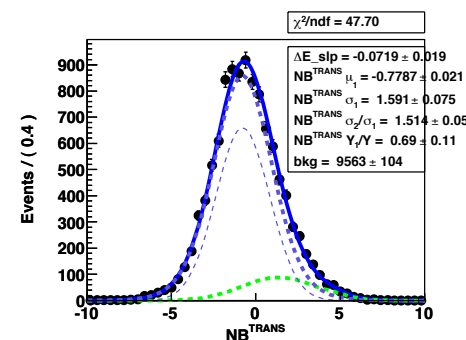
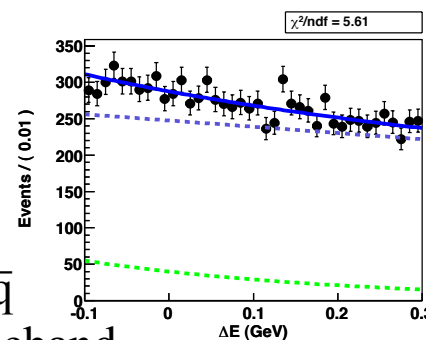
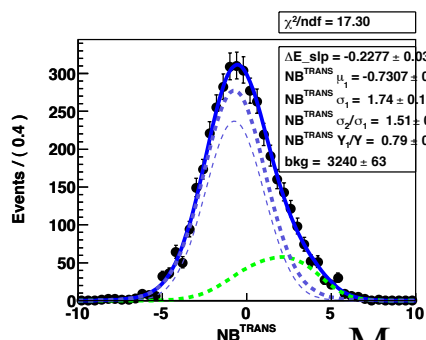
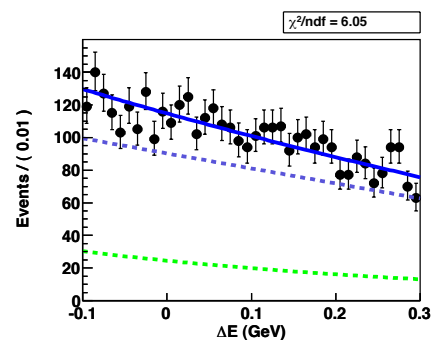
- The yields and shapes are fixed in the fit on signal MC.



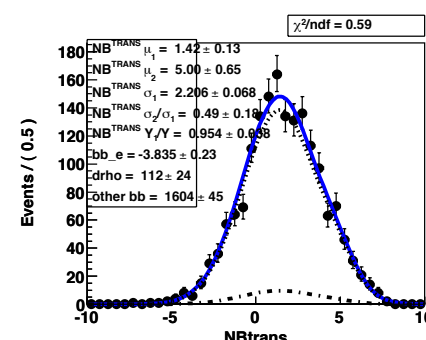
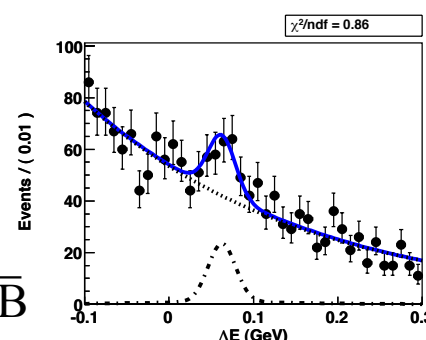
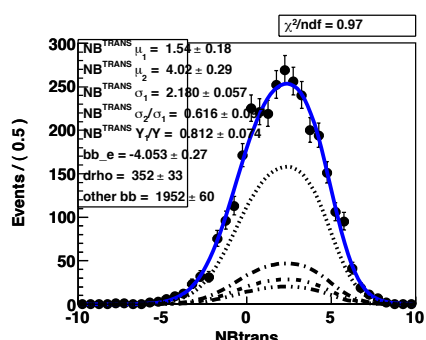
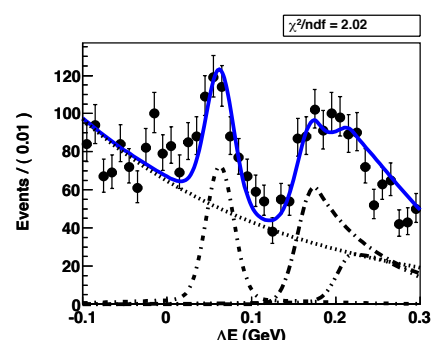
## Favored mode



Signal



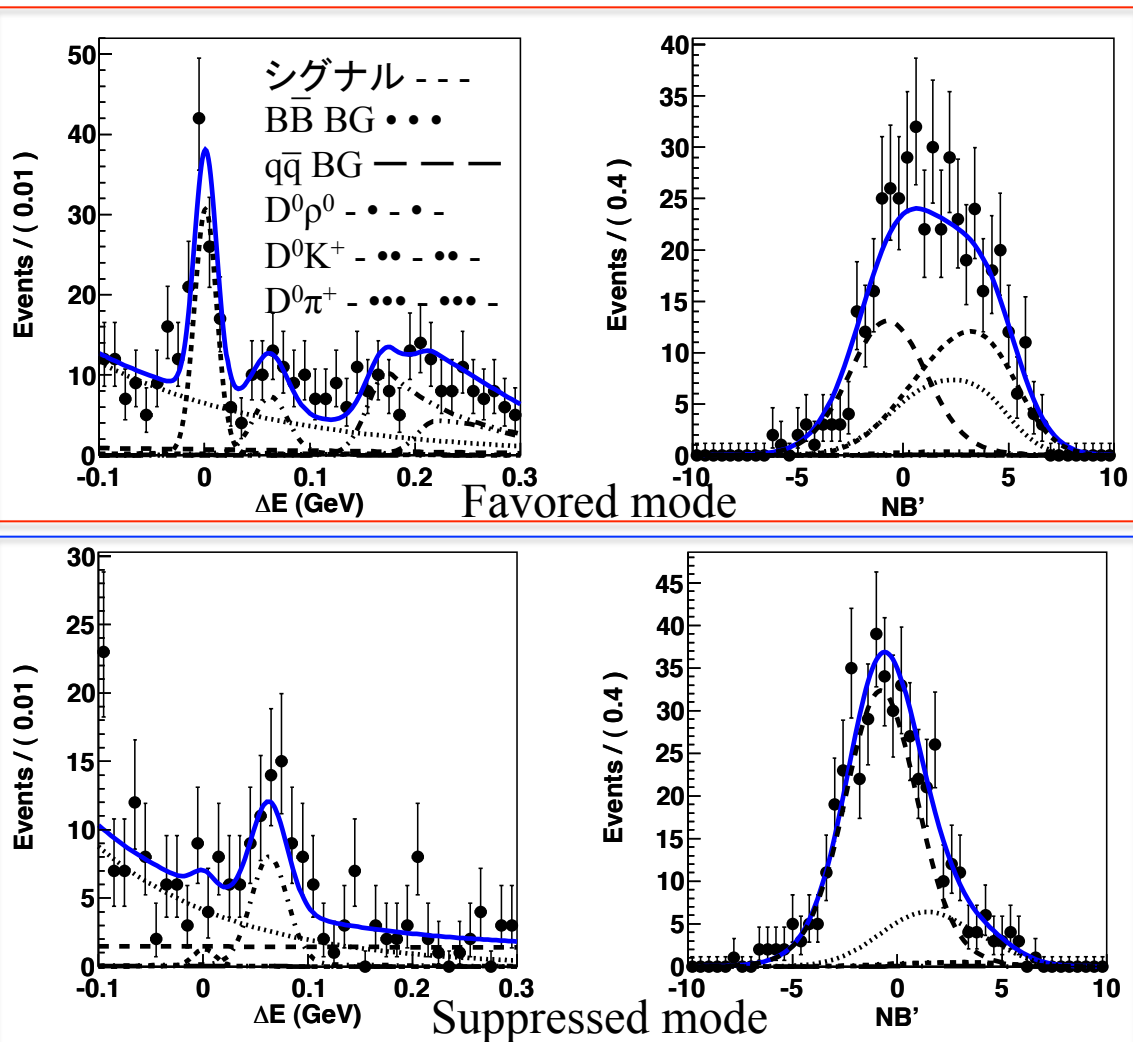
qq  
M<sub>bc</sub> sideband



B-Bbar  
MC 4streams

# Result

- $B^0 \rightarrow [K\pi]DK^{*0}$ で  $R_{ADS}$  を測定



- 得られたシグナル数
  - $N_{\text{fav.}} = 190 \pm 22$
  - $N_{\text{sup.}} = 7.7 \pm 10$
- 得られた  $R_{DK^*}$ 

$$R_{DK^*} = \frac{N_{\text{sup.}}/\epsilon_{\text{sup.}}}{N_{\text{fav.}}/\epsilon_{\text{fav.}}} = (4.1^{+5.6+2.8}_{-5.0-1.8}) \times 10^{-2} < 0.16 \quad (95\% C.L.)$$
- 過去のBelleやBaBarより強い上限値

# Systematic uncertainty

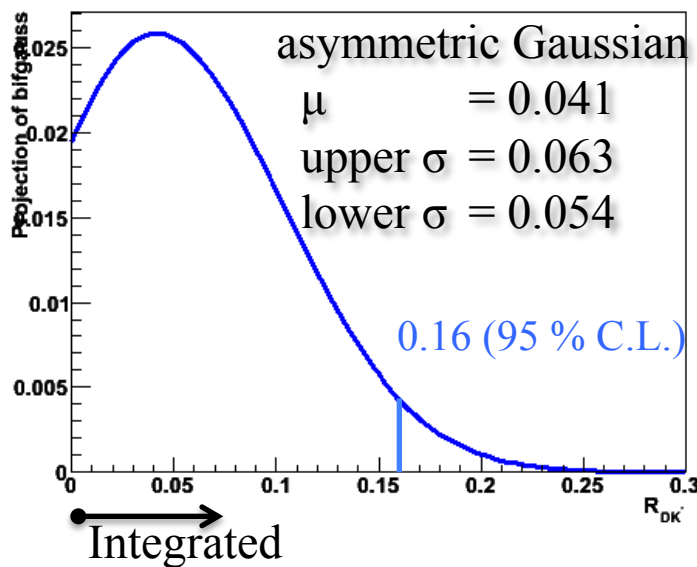
Source	$R_{D\bar{K}^*}$ [ $10^{-2}$ ]	
Det. Eff.	+ 0.08 - 0.08	Sig. $\bar{D}^0 r^0$ $\bar{D}^0 K^+$ $\bar{D}^0 p^+$ $B\bar{B}$ $q\bar{q}$ Peaking
PDF	+ 2.81 - 1.85	+ 0.05 - 0.17 + 0.04 - 0.08 + 0.01 - 0.03 + 0.01 - 0.05 + 1.76 - 1.17 + 2.19 - 1.40 + 0.07 - 0.12
Fit bias	+ 0.36 - 0.01	
Total	+ 2.83 - 1.85	+ 2.81 - 1.85

$$R_{D\bar{K}^*} = (4.1^{+5.6}_{-5.0} {}^{+2.8}_{-1.8}) \times 10^{-2}$$

- **Detection efficiency:** MC statistics and PID calibration.
- **PDF:**
  - Uncertainties due to **fixed shape parameters** are obtained by varying them  $\pm 1\sigma$ .
  - Uncertainty due to **NB' PDF of  $B\bar{B}$  BG** is estimated by applying signal PDF. Assign obtained difference to + and - sides (conservative).
  - Uncertainty due to the **peaking background** is estimated by applying 0-2 times the expected yields.
  - Uncertainties due to the  **$D^0 K^+$  and  $D^0 \pi^+$  yields** are obtained by applying the error of efficiency and BR.
- **Fit bias:** obtain the pull distribution from 10,000 pseudo-experiments.

# Upper limit on $R_{D\bar{K}^*}$

- We obtain the upper limit by using an asymmetric Gaussian, where the positive and negative widths correspond to positive and negative errors including the syst. err.



$$R_{D\bar{K}^*} = (4.1^{+5.6}_{-5.0}{}^{+2.8}_{-1.8}) \times 10^{-2}$$

$$< 0.16 \text{ (95 \% C.L.)}$$

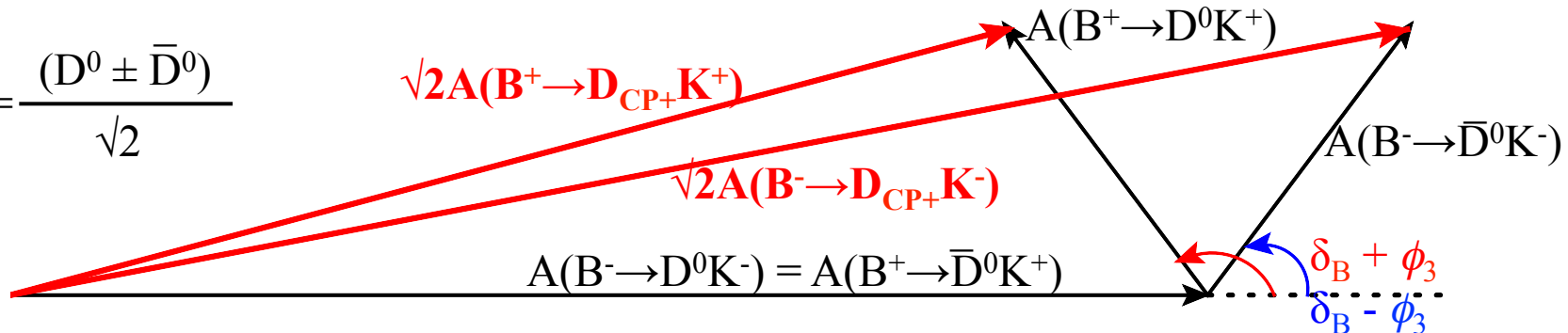
BaBar'09  $R_{D\bar{K}^*} < 0.24$  (95 % C.L.)

# GLW法

- $D \rightarrow KK, \pi\pi, \text{etc}$

- $D$ 崩壊がCP固有モード
- 比較的大きな崩壊振幅

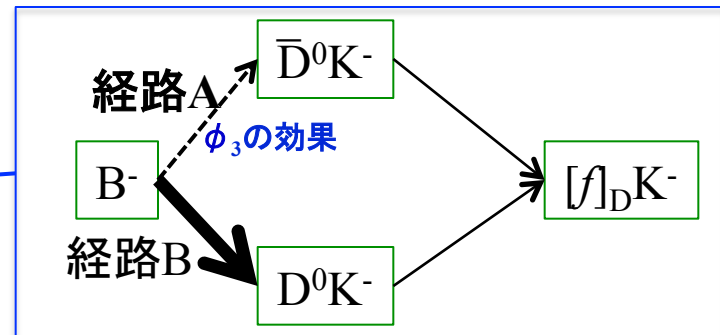
$$D_{CP\pm} = \frac{(D^0 \pm \bar{D}^0)}{\sqrt{2}}$$



典型的に求める二つの変数

$$R_{\pm} = \frac{\Gamma(B^- \rightarrow D_{CP\pm} K^-) + \Gamma(B^+ \rightarrow D_{CP\pm} K^+)}{\Gamma(B^- \rightarrow D_{\text{fav}} K^-) + \Gamma(B^+ \rightarrow D_{\text{fav}} K^+)} \\ = 1 + r_B^2 \pm 2r_B \cos \delta_B \cos \phi_3$$

$$A_{\pm} = \frac{\Gamma(B^- \rightarrow D_{CP\pm} K^-) - \Gamma(B^+ \rightarrow D_{CP\pm} K^+)}{\Gamma(B^- \rightarrow D_{CP\pm} K^-) + \Gamma(B^+ \rightarrow D_{CP\pm} K^+)} \\ = \frac{\pm 2r_B \sin \delta_B \sin \phi_3}{R_{\pm}}$$



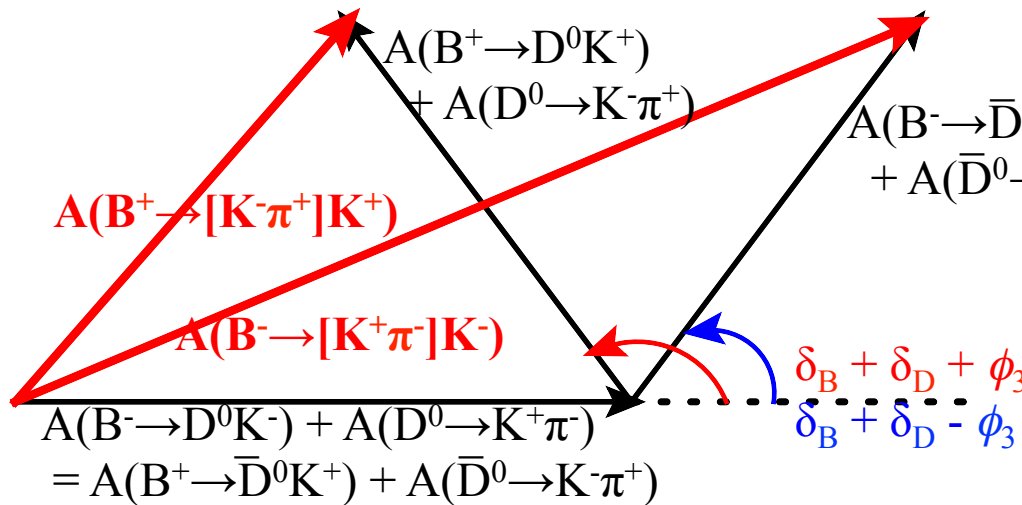
後述(ADSの所で)

# ADS法

- $D \rightarrow K\pi, K\pi\pi^0, K\pi\pi\pi$ , etc

D. Atwood, I. Dunietz and A. Soni, PRL78, 3257 (1997)  
PRD 63, 036005 (2001)

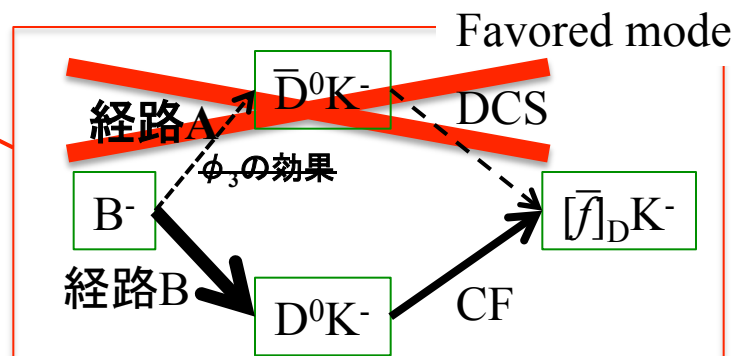
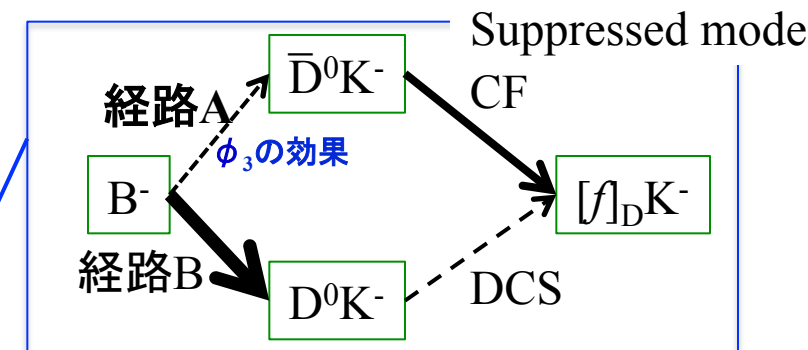
- D崩壊がFlavor Specific (Favored, Suppressed Mode)
- Sup. Modeで崩壊振幅は小さい、CP非保存の影響が大きい

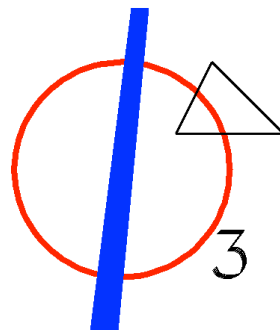


典型的に求める二つの変数

$$R_{ADS} = \frac{\Gamma(B^- \rightarrow D_{sup} K^-) + \Gamma(B^+ \rightarrow D_{sup} K^+)}{\Gamma(B^- \rightarrow D_{fav} K^-) + \Gamma(B^+ \rightarrow D_{fav} K^+)} = r_B^2 + r_D^2 + 2r_B r_D \cos(\delta_B + \delta_D) \cos \phi_3$$

$$A_{ADS} = \frac{\Gamma(B^- \rightarrow D_{sup} K^-) - \Gamma(B^+ \rightarrow D_{sup} K^+)}{\Gamma(B^- \rightarrow D_{sup} K^-) + \Gamma(B^+ \rightarrow D_{sup} K^+)} = \pm 2r_B r_D \sin(\delta_B + \delta_D) \sin \phi_3$$





# $B^0 \rightarrow D K^{*0}$ 崩壊の研究

東北大學  
根岸 健太郎